



图1 右下肺胸膜下结节。图2 左下肺外带结节。图3 右下叶多发结节聚集融合成团片。

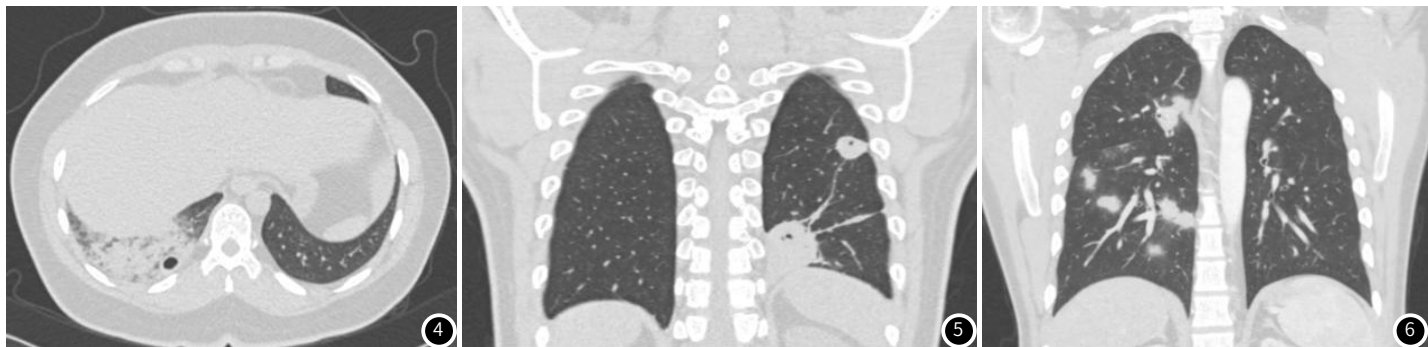


图4 右下叶多发结节聚集融合成团片。图5 结节边缘见长条索。图6 右肺多发结节，聚集分布。

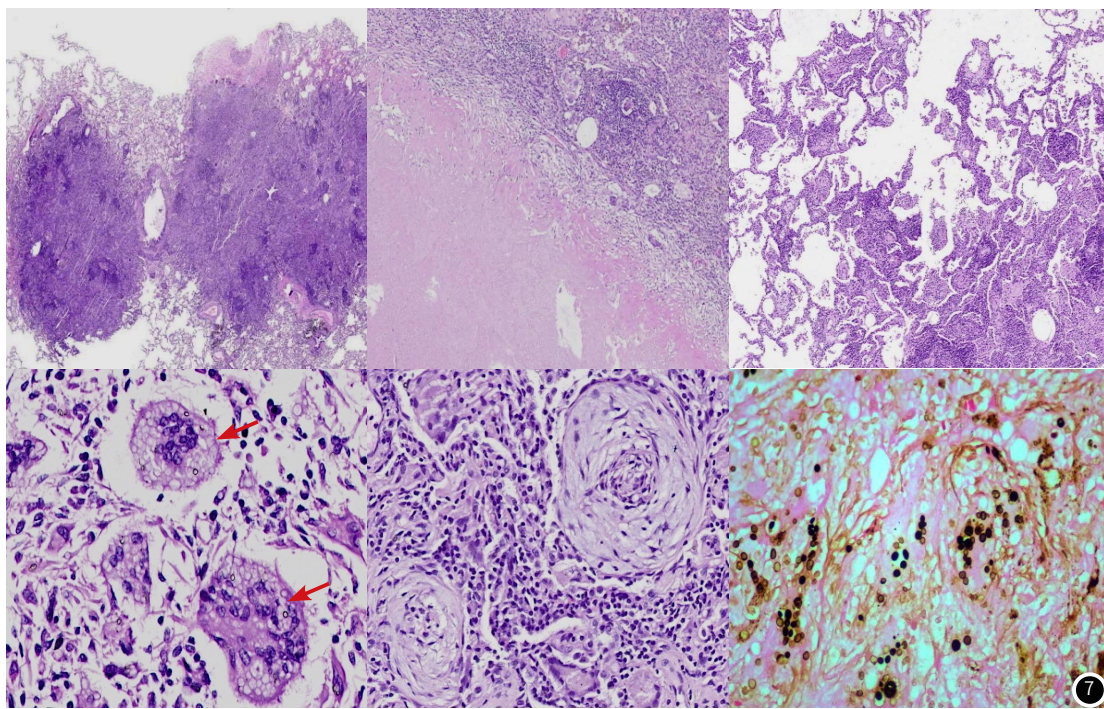


图7 PC病理组织。

3 讨 论

隐球菌是一种有厚荚膜、无菌丝，有微囊的腐生型酵母菌，多分布于鸟类粪便(尤其是鸽子)污染的潮湿、阴暗土壤内，可经呼吸道进入体内^[7-8]。同时，隐球菌病多被临床认为少见病，大多数病例无明显症状，故未引起广泛关注，PC影像表现多样，极易误诊为肺癌、肺结核、肺炎等，近年，随体检意识增强、影像学

技术提升，PC确诊人数增多，尤其是免疫正常者PC发病率持续增高，故逐渐得到重视^[9-10]。此外，PC临床表现因免疫状态、个体易感性、真菌特性、接触时间和数量的不同而存在明显差异，增加诊断难度，故明确疾病CT表现、病理特征等极为重要。

本研究结果显示，病灶分布以单侧为主，以肺下叶、外带/胸

膜下为主。原因隐球菌直径较小，经气道吸入后易达到细支气管及终末支气管，在胸膜下腺泡中定植诱导巨噬细胞和T细胞产生免疫反应形成肉芽肿病变。PC的影像及病理均与免疫状态有关，免疫正常者在病理上易形成肉芽肿，影像上表现为结节/肿块型，免疫抑制在病理上不易形成肉芽肿，在影像上表现为实变型和混合型。PC主要的CT征象。(1)支气管充气征，本组47例(65.28%)可见，表现为支气管在病灶中穿行或深入病灶后中断，充气支气管在病灶边缘密度较淡处穿行，在病灶中间密度较实区中断，病灶内支气管走形自然，无明显狭窄及扭曲。吴婧^[11]研究指出，肺隐球菌病患者支气管远端堵塞，近端清晰，与普通炎症存在一定差异，主要是因肉芽肿逐渐密实，远端逐渐有阻挡形成，部分患者存在轻度支气管扩张，可能是因后期纤维化、机化牵拉等所致；同时，PC患者支气管内壁规则、光滑，与肺癌的“枯枝征”支气管气相存在差异，故可据此实施鉴别诊断。(2)磨玻璃晕征，本组45例(62.50%)可见，其病理基础主要由病灶周围炎细胞浸润和炎性渗出液形成，晕征的出现和消失与疾病的不同时相有关，感染初期，晕征明显，随病程发展从多变小，逐渐吸收。(3)宽基底征，本组33例(45.83%)可见，病灶常位于肺外带靠近胸膜处，宽基底紧贴胸膜，临近胸膜增厚和或胸膜外脂肪间隙增宽。多发结节型，结节常有聚集和融合趋势，本研究该征象出现率76%；实变型，胸膜下分布，宽基底征，病灶长轴多与胸膜平行，实变影内可见支气管充气征及空洞，边缘可见磨玻璃影。

赖添福等学者^[12]研究表明，PC病灶主要分布于肺下叶60.00%，伴随征象主要为胸膜下宽基底征为73.33%。本研究结果表明，PC病灶主要分布于肺下叶54.17%，主要伴随征象为支气管充气征65.28%，与上述学者研究结果具有一定的相似性，分析其原因主要在于呼吸道为隐球菌进入机体的主要感染方式，和肺结核病理机制较接近，隐球菌吸入后首先到达肺外围，并发生胸膜下感染，随时间推移蔓延至肺门，致使支气管气相近端清晰，可和常规渗出性炎症予以鉴别。Wang DX^[13]研究还指出，PC主要呈低炎症反应/肉芽肿性炎症，强化主要是轻、中度强化，普通感染炎症强化的基础则是毛细血管扩张，故强化较明显，而肺癌则因肿瘤新生血管形成且易坏死，中等不均匀强化为主，故可根据上述特征对PC予以诊断。Hong Seok Choi^[14]研究还表明，PC患者因伴随征象复杂、病灶形态具有多样性，故不易和支气管肺泡细胞癌、细菌性肺炎、肺转移瘤、周围型肺癌、肺结核等区分，但肺结核多发部位具有特定性，经CT检查可见多形态、多病灶，并伴有肺门和纵隔淋巴结钙化、肿大及空洞；周围型肺癌在中老年群体较常见，病灶多远离胸膜，主要征象为胸膜凹陷征、毛刺、偏心空洞、深分叶征，部分伴胸水、纵隔淋巴结肿大；PC则主要分布在胸膜下，胸膜凹陷、空洞较少见，且若病灶内见支气管充气征，周边存在晕征，则高度怀疑为PC。因此认为，临床可根据PC病灶CT伴随征象、病理特征等对疾病实施鉴别诊断，但临床实际应注意，若隐球菌孢子数目较少，则易造成漏诊或误诊，或针对出现明显干酪样坏死者，易误诊为结核或其他肉芽肿性炎症，故对于此类患者需及时实施抗酸染色、真菌特染，如PAS、六胺银等。易黎等^[15]还表明，结节/肿块型PC患者呈现出荚膜多糖抗原阳性、炎症指标水平增高较少见、无症状较多等特征，且单发者上述现象更为常见。可能是因PC患者疾病早期阶段病情较轻，反应相对较差，提示此类患者病情较隐匿，诊断难度更大，故临床实际针对实验室检查阴性、无任何临床症状者，也应谨慎评估是否为单发结节肿块型PC患者^[16]。

综上所述，PC病灶多为单侧、肺下叶，外带/胸膜下分布，病变常伴随支气管充气征、磨玻璃晕征、胸膜下宽基底征，且不同类型PC病灶CT伴随征象具有明显特征。

参考文献

- [1] 宋蓉蓉, 徐建平, 赵洁婷, 等. 77例肺隐球菌病临床病理特征分析[J]. 临床肺科杂志, 2023, 28(9): 1404-1408.
- [2] Hu B, Xia W, Piao S, et al. A CT-based radiomics integrated model for discriminating pulmonary cryptococcosis granuloma from lung adenocarcinoma-a diagnostic test[J]. Transl Lung Cancer Res, 2023, 12(8): 1790-1801.
- [3] Xiong C, Lu J, Chen T, et al. Comparison of the clinical manifestations and chest CT findings of pulmonary cryptococcosis in immunocompetent and immunocompromised patients:a systematic review and meta-analysis[J]. BMC Pulm Med, 2022, 22(1): 415.
- [4] 郑乐贵, 卢瑶, 张协, 等. 48例肺隐球菌感染的临床特征及预后[J]. 中华医院感染学杂志, 2021, 31(8): 1183-1186.
- [5] 雷莉莉, 张宇, 邹珏, 等. 57例免疫功能正常肺隐球菌病临床特征[J]. 中华医院感染学杂志, 2021, 31(13): 1941-1945.
- [6] 王丹英, 杨云梅. 老年肺隐球菌病患者42例临床分析[J]. 中华老年医学杂志, 2021, 40(7): 899-903.
- [7] Victoria Hall, Celia Cooper, George Grigoriadis, et al. Consensus guidelines for the diagnosis and management of cryptococcosis and rare yeast infections in the haematology/oncology setting, 2021[J]. Intern Med J, 2021, 51(7): 118-142.
- [8] 卢晓雨, 金张楚, 颜伏归, 等. 肺隐球菌病113例临床分析[J]. 中华全科医师杂志, 2022, 21(2): 128-134.
- [9] 王伟, 俞同福, 张伟, 等. 肺隐球菌病的CT表现[J]. 实用放射学杂志, 2022, 38(3): 397-399.
- [10] 石锋, 杨维伟, 金威. 结节型肺隐球菌病CT影像学特征及鉴别价值[J]. 中国CT和MRI杂志, 2021, 19(9): 54-56, 74.
- [11] 吴婧, 潘军平, 郝国华, 等. 肺隐球菌病CT征象的临床分析[J]. 医学影像学杂志, 2018, 28(11): 1844-1848.
- [12] 赖添福, 朱志强, 林裕霖, 等. 肺隐球菌病临床特征与胸部CT表现的相关性研究[J]. 实用放射学杂志, 2020, 36(6): 897-900.
- [13] Wang DX, Zhang Q, Wen QT, et al. Comparison of CT findings and histopathological characteristics of pulmonary cryptococcosis in immunocompetent and immunocompromised patients[J]. Sci Rep, 2022, 12(1): 5712.
- [14] Hong Seok Choi, Yun-Hyeon Kim, Won Gi Jeong, et al. Clinicoradiological features of pulmonary cryptococcosis in immunocompetent patients[J]. J Korean Soc Radiol, 2023, 84(1): 253-262.
- [15] 易黎, 陶雅红, 陈智勇, 等. 免疫功能正常者肺隐球菌病临床表现及CT特征分析[J]. 临床放射学杂志, 2023, 42(1): 51-55.
- [16] 车思雨, 张国庆, 蒋依宁, 等. 非获得性免疫缺陷者肺隐球菌病的CT影像表现[J]. 实用医学杂志, 2019, 35(17): 2831-2834.

(收稿日期: 2024-09-13)
(校对编辑: 姚丽娜)